

Resumen Teórico Matemática Discreta II

Ferré Valderrama, Eduardo

4 de julio de 2024

Matemática Discreta II

Índice

1. ¿Cuál es la complejidad de Edmonds-Karp? 2
2. Probar que, si dados vértices x, z y flujo f definimos la distancia entre x y z relativa a f como la longitud del menor f -camino aumentante entre x y z , si es que existe tal camino, o infinito si no existe o 0 si $x = z$, denotándola por $d_f(x, z)$, y definimos $d_k(x) = d_{f_k}(s, x)$, donde f_k es el k -ésimo flujo en una corrida de Edmonds-Karp, entonces $d_k(x) \leq d_{k+1}(x)$. 5
3. Probar que, si dados vértices x, z y flujo f definimos la distancia entre x y z relativa a f como la longitud del menor f -camino aumentante entre x y z , si es que existe tal camino, o infinito si no existe o 0 si $x = z$, denotándola por $d_f(x, z)$, y definimos $b_k(x) = b_{f_k}(x, t)$, donde f_k es el k -ésimo flujo en una corrida de Edmonds-Karp, entonces $b_k(x) \leq b_{k+1}(x)$. 7
4. ¿Cual es la complejidad del algoritmo de Dinic? Probarla en ambas versiones: Dinitz original y Dinic-Even. (no hace falta probar que la distancia en networks auxiliares sucesivos aumenta). 7
5. ¿Cual es la complejidad del algoritmo de Wave? Probarla. 11
6. Probar que la distancia en networks auxiliares sucesivos aumenta. 13
7. Probar que el valor de todo flujo es menor o igual que la capacidad de todo corte y que si f es un flujo, entonces f es maximal si y solo si existe un corte S tal que $v(f) = \text{cap}(S)$. (y en este caso, S es minimal) (puede usar sin necesidad

de probarlo que si f es flujo y S es corte entonces $v(f) = f(S, \bar{S}) - f(\bar{S}, S)$	13
8. Probar que si G es conexo no regular, entonces $\chi(G) \leq \Delta(G)$.	15
9. Probar que 2-COLOR es polinomial	15
10. Enunciar y probar el Teorema de Hall.	17
11. Enunciar y probar el teorema del matrimonio de Koenig	19
12. Probar que si G es bipartito entonces $\chi'(G) = \Delta(G)$.	20
13. Probar la complejidad $O(n^4)$ del algoritmo Hungaro y dar una idea de como se la puede reducir a $O(n^3)$	20
14. Enunciar y probar el teorema de la cota de Hamming	20
15. Sea C un código lineal con matriz de chequeo H . Entonces $\delta(C)$ es el mínimo número de columnas LD de H	21
16. Sea C un código cíclico de dimensión k y longitud n y sea $g(x)$ su polinomio generador. Probar i, ii, iii y iv	23
17. Probar que 3SAT es NP-completo	26
18. Probar que 3COLOR es NP-completo	29
19. Probar que Matrimonio 3D (“matrimonio trisexual”) es NP completo	33

1. ¿Cuál es la complejidad de Edmons-Karp?

La complejidad del algoritmo de Edmons-Karp es $O(nm^2)$

Demostración

- E-K encuentra una sucesión de caminos aumentantes, cada uno de ellos se encuentra utilizando BFS, que es $O(m)$.
- Por lo tanto la complejidad de E-K es $O(m)$ por $\#$ caminos aumentantes.
- Entonces si demostramos que en E-K, $\#$ caminos aumentantes = $O(nm)$, tenemos el teorema.
- Para probar esto tenemos que ver cuantas veces un lado puede volverse crítico, teniendo en cuenta que un lado se vuelve crítico en el paso k cuando al pasar al paso $k + 1$ este se satura o se vacía.

- Esto es porque por cada camino aumentante que encontremos, cuando aumentemos el flujo, vamos a saturar o llenar al menos un lado en ese camino.
- Entonces si acotamos la cantidad de veces que un lado se vuelve crítico, habremos acotado la cantidad de caminos aumentantes

Supongamos que un lado \vec{xy} se vuelve crítico en el paso k , y luego en el paso j , con $k < j$. Entonces hay dos casos para analizar

- **Caso 1.** Se vuelve crítico en el paso k porque se saturó.
- **Caso 2.** Se vuelve crítico en el paso k porque se vació.
- **Caso 1. En el que se satura (forward):** Como se saturó en el paso k entonces:
 - Para construir f_{k+1} se debe usar un f_k camino aumentante de la forma $s \dots \vec{xy} \dots t$.
 - Como estamos usando EK ese camino es de longitud mínima, por lo tanto:

$$d_k(y) = d_k(x) + 1 \quad (1)$$

Para que se vuelva crítico en el paso j , debe pasar una de estas dos cosas:

- Se vació, es decir usamos \vec{xy} backward en el paso j .
- Se saturó, como luego del paso k ya se saturó, para saturarse de nuevo debemos haberle devuelto el flujo en un paso i , con $k < i < j$.

Entonces en cualquiera de estos dos casos, deducimos que existe i tal que $k < i < j$ tal \vec{xy} se usa en backward.

Esto implica que para construir f_{i+1} se usa un f_i -camino aumentante de la forma $s \dots \overleftarrow{yx} \dots t$. Como estamos usando EK, ese camino es de longitud mínima, por lo tanto:

$$d_i(x) = d_i(y) + 1 \quad (2)$$

Entonces:

$$\begin{aligned}
d_j(t) &\geq d_i(t) = d_i(x) + b_i(x). \\
&= d_i(y) + 1 + b_i(x) \quad \text{Por (2)} \\
&\geq d_k(y) + 1 + b_k(x) \quad \text{Porque las distancias no disminuyen} \\
&= d_k(x) + 1 + 1 + b_k(x) \quad \text{Por (1)} \\
&= d_k(t) + 2
\end{aligned}$$

Este fue el análisis de si el lado \overrightarrow{xy} se volvía crítico en el paso k porque se saturaba. Ahora vamos con el **Caso 2**.

- **Caso 2. En el que se vacía (backward)**: Como se vacía, existe un camino (de longitud mínima) de la forma $s \dots \overleftarrow{yx} \dots t$ que se usa para pasar de f_k a f_{k+1} . Por lo tanto:

$$d_k(x) = d_k(y) + 1 \quad (3)$$

Para que se vuelva crítico en el paso j , debe o bien volverse a vaciar, o bien saturarse, en el segundo de esos casos estamos obviamente mandando más flujo en el paso j , pero en el primero si estamos diciendo que debe vaciarse de vuelta, entonces antes debe haberse llenado aunque sea un poco.

Así que en cualquier caso debe haber un i tal que $k < i < j$ para el cual se manda flujo a través de él. Entonces, existe un camino (de longitud mínima) de la forma $s \dots \overrightarrow{xy} \dots t$ que se usa para pasar de f_i a f_{i+1} . Por lo tanto:

$$d_i(y) = d_i(x) + 1 \quad (4)$$

Entonces:

$$\begin{aligned} d_j(t) &\geq d_i(t) = d_i(y) + b_i(y). \\ &= d_i(x) + 1 + b_i(y) \quad \text{Por (4)} \\ &\geq d_k(x) + 1 + b_k(y) \quad \text{Porque las distancias no disminuyen} \\ &= d_k(y) + 1 + 1 + b_k(x) \quad \text{Por (3)} \\ &= d_k(t) + 2 \end{aligned}$$

Entonces tanto como para el **Caso 1** como para el **Caso 2**, $d_j(t) \geq d_k(t) + 2$.

Es decir, una vez un lado se vuelve lado crítico, para que se vuelva crítico otra vez, la distancia entre s y t debe aumentar al menos en 2.

Como la distancia entre s y t puede ir desde mínimo de 1 hasta un máximo de $n - 1$, entonces un lado puede volverse crítico un máximo de $O(\frac{n}{2}) = O(n)$ veces.

Entonces finalmente:

- Como cada camino aumentante que se usa en EK tiene al menos un lado que se vuelve crítico
- Cada lado se puede volver crítico a lo sumo $O(n)$ veces

- Hay m lados
- \Rightarrow hay $O(nm)$ caminos aumentantes.

Finalmente concluimos que la complejidad total de EK es

$$O(m) * O(nm) = O(nm^2) \blacksquare$$

2. Probar que, si dados vértices x, z y flujo f definimos la distancia entre x y z relativa a f como la longitud del menor f -camino aumentante entre x y z , si es que existe tal camino, o infinito si no existe o 0 si $x = z$, denotándola por $d_f(x, z)$, y definimos $d_k(x) = d_{f_k}(s, x)$, donde f_k es el k -ésimo flujo en una corrida de Edmonds-Karp, entonces $d_k(x) \leq d_{k+1}(x)$.

Demostración. Vamos a demostrar que $d_k(x) \leq d_{k+1}(x)$.

Sea $A = \{y : d_{k+1}(y) < d_k(y)\}$. Queremos ver que $A = \emptyset$, supongamos que no.

Sea $x \in A$ tal que

$$d_{k+1}(x) = \min\{d_{k+1}(y) : y \in A\} \quad (1)$$

Observemos que $x \in A$, entonces $d_{k+1}(x) < d_k(x) \leq \infty \Rightarrow d_{k+1} < \infty$. Entonces existe un f_{k+1} -camino aumentante entre s y x .

Observación. $x \neq s$, pues $s \notin A$, pues $d_k(s) = d_{k+1}(s) = 0$.

Sea entonces $p_{k+1} := s \dots x$ un f_{k+1} -camino aumentante de longitud mínima entre s y x , es decir, de longitud $d_{k+1}(x)$. Como $x \neq s$ en ese camino existe un vertice inmediatamente anterior a x , llamemosle z . Entonces, $p_{k+1} = s \dots zx$.

Como p_{k+1} es de longitud mínima entre s y x , entonces es de longitud mínima entre s y cualquier otro vertice intermedio como z . Por lo tanto:

$$d_{k+1}(z) = d_{k+1}(x) - 1 \quad (2)$$

Como $p_{k+1} = s \dots zx$ es un f_{k+1} -camino aumentante, entonces existe el lado \vec{zx} o existe el lado \vec{xz} . Analicemos los dos casos.

- **Caso 1.** Si \vec{zx} es un lado, tenemos que $d_{k+1}(z) < d_{k+1}(x)$. Pero

$$z \notin A \implies d_k(z) \leq d_{k+1}(z) < d_{k+1}(x) < \infty$$

Como $d_k(z) < \infty$, existe un f_k -camino aumentante entre s y z . Lo denominamos p_k . Como \vec{zx} es un lado, podría, en principio, agregar x al final de p_k , obteniendo un f_k -c.a. entre s y x que pasa por z . Pero entonces tendríamos $d_k(x) \leq d_k(z) + 1 \leq d_{k+1}(z) + 1 \leq d_{k+1}(x)$. Pero esto implica $x \notin A$.

Por lo tanto, no puedo agregar x al final de p_k . Entonces, o bien el lado \vec{zx} está saturado en el paso k , o bien $f_k(\vec{zx}) = c(\vec{zx})$. Pero p_{k+1} era aumentante; es decir, sus lados no pueden estar saturados; lo cual implica que $f_{k+1}(\vec{zx}) < c(\vec{zx})$ en el paso $k + 1$. Luego, para pasar de f_k a f_{k+1} , se usó el lado \vec{zx} y se usó backwards en el camino

$$\tilde{p}_k : s \dots \overleftarrow{xz} \dots t$$

Como este camino se usa en Edmonds-Karp, es de longitud mínima. Por lo tanto,

$$d_k(z) = d_k(x) + 1$$

Luego,

$$\begin{aligned} d_k(z) &= d_k(x) + 1 \\ &> d_{k+1}(x) + 1 \\ &= d_{k+1}(z) + 2 \\ &\geq d_k(z) + 2 \end{aligned}$$

Absurdo pues, $0 < 2$.

- **Caso 2.** Si \vec{xz} es un lado, tenemos que p_{k+1} es de la forma $s \dots \vec{zx}$. Como antes,

$$d_{k+1}(z) < d_{k+1}(x) \implies z \in A \implies d_k(z) \leq d_{k+1}(z)$$

lo cual a su vez implica que existe un f_k -camino aumentante entre s y z :

$$p_k : s \dots z$$

Podríamos agregar a x en el final de este camino usando \vec{xz} backward: llegaríamos a la misma contradicción que antes, en que no podríamos agregar x . En este caso, si no lo podemos agregar, es porque $f_k(\vec{xz}) = 0$. Pero p_{k+1} es f_{k+1} -aumentante, lo cual implica que $f_{k+1}(\vec{xz}) > 0$. Luego debimos haber usado \vec{xz} en modo forward al pasar de f_k a f_{k+1} . Por lo tanto existe un f -camino aumentante de la forma:

$$\tilde{p}_k : s \dots \vec{xz} \dots t$$

Y luego como usamos Edmonds-Karp, este camino aumentante es de longitud mínima.

Luego $d_k(z) = d_k(x) + 1$.

$$\begin{aligned} d_k(z) &= d_k(x) + 1 \\ &> d_{k+1}(x) + 1 \\ &= d_{k+1}(z) + 2 \\ &\geq d_k(z) + 2 \end{aligned}$$

Absurdo pues, $0 < 2$.

Finalmente concluimos que en ambos casos llegamos a un absurdo, y este absurdo viene de suponer que $A \neq \emptyset$, entonces A es vacío y finalmente

$$d_k(x) \leq d_{k+1}(x)$$

- 3. Probar que, si dados vértices x, z y flujo f definimos la distancia entre x y z relativa a f como la longitud del menor f -camino aumentante entre x y z , si es que existe tal camino, o infinito si no existe o 0 si $x = z$, denotándola por $d_f(x, z)$, y definimos $b_k(x) = b_{f_k}(x, t)$, donde f_k es el k -ésimo flujo en una corrida de Edmonds-Karp, entonces $b_k(x) \leq b_{k+1}(x)$.**

Demostración. Se evalúa en diciembre de 2024.

- 4. ¿Cual es la complejidad del algoritmo de Dinic? Probarla en ambas versiones: Dinitz original y Dinic-Even. (no hace falta probar que la distancia en networks auxiliares sucesivos aumenta).**

La complejidad de Dinitz, en su versión original como occidental, es $O(n^2m)$.

Demostración. Como el nivel de t en los networks auxiliares aumenta, solo puede haber $O(n)$ networks auxiliares. \therefore La complejidad de Dinitz es igual a la complejidad de hallar un flujo bloqueante en un network auxiliar, más la

complejidad de construir un network auxiliar, por la cantidad de networks auxiliares—que es $O(n)$. Porque usamos DFS, la complejidad de construir un network auxiliar es $O(m)$. Entonces basta probar que la complejidad de hallar un flujo bloqueante es $O(nm)$, porque tendremos

$$O(n) \cdot (O(m) + O(nm)) = O(n^2m)$$

■ **Versión Original:**

En la versión original del algoritmo, el n.a. es tal que no hay vértices sin lado de salida. Esto implica que DFS siempre llega a t sin hacer backtracking. Entonces, DFS no es $O(m)$ sino $O(\text{cantidad de niveles})$ que podemos simplificar como $O(n)$. Como cada camino borra al menos un lado del n.a. hay $O(m)$ caminos. Luego la complejidad de hallar los caminos y aumentar el flujo por ellos es $O(nm)$. Pero debemos calcular el costo de que el n.a. satisfaga la propiedad de que no hay vértices sin lados de salida.

Para esto, luego de cada camino hay que hacer algo para mantener esa propiedad como invariante. Dinitz llamó a la operación que logra esto “**podar**”. La operación consiste en recorrer los vértices desde los niveles más altos a los más bajos, chequea si el vértice tiene lados de salida; si tiene no hace nada, si no lo tiene lo borra.

Chequear si el lado tiene lados de salida es $O(1)$; hay $O(n)$ vértices, y hay un “podar” por cada camino y hay $O(m)$ caminos. Esto entonces también es $O(nm)$.

Nos queda analizar la complejidad de borrar el vértice y sus lados; esto se hace a lo sumo una vez por vértice, y una vez que podamos un vértice es probable que podar los siguientes requiera una complejidad menor (porque estamos quitando lados). Esto nos dice que podemos pensar en la complejidad promedio del problema, y no en la complejidad límite (es decir como cota).

Borrar un vértice x y sus lados es $O(d(x))$; sobre todos los vértices, esto da $\sum O(d(x)) = O(m)$ (por la propiedad del apretón de manos). Luego la complejidad de hallar un flujo bloqueante es:

$$O(nm) + O(nm) + O(m) = O(nm) \blacksquare$$

■ **Versión Dinic-Even:**

Ahora consideremos la versión occidental. Lo más cómodo es dar el pseudocódigo. Estamos hablando del network auxiliar y el problema de hallar un flujo bloqueante en él.

Para hallar flujo bloqueante g en un n.a:

Algorithm 1 Algoritmo

```
1:  $g := 0$ 
2:  $bool\ flag := true$ 
3: while  $flag$  do
4:    $type\ path := [s]$ 
5:    $int\ x := s$ 
6:   while  $x \neq t$  do
7:     if  $\Gamma^+(x) \neq 0$  then
8:       tomar  $y \in \Gamma^+(x)$ 
9:       agregar  $y$  a  $path$ 
10:       $x := y$   $\triangleright$  Esta línea y la anterior son la parte (A) de avanzar
11:    else
12:      if  $x \neq s$  then
13:         $z :=$  elemento anterior a  $x$  en  $path$   $\triangleright$  (R) Retroceder
14:        borro  $x$  de  $path$ 
15:        borro  $\overrightarrow{zx}$  de la n.a.
16:         $x := z$ 
17:      else
18:         $flag := 0$ 
19:      end if
20:    end if
21:  end while
22:  if  $x = t$  then
23:    aumentar flujo  $g$  a lo largo de  $path$   $\triangleright$  (I) Incrementar
24:    borrar lados saturados
25:  end if
26: end while
27: return  $g$ 
```

Entonces, una corrida de Dinitz occidental es una palabra $AAAI\AA\AA RARRRAA \dots$.
Miraremos subpalabras de la forma $A \dots AX$ con $X \in \{I, R\}$.

- Cada A es $O(1)$;
- Cada R es $O(1)$;
- Cada I es recorrer un camino dos veces (una para incrementar el flujo, otra para borrar los lados), y resulta ser $O(n)$.

La cantidad de A's en $A \dots AX$ se calcula como sigue. Cada avanzar, mueve el pivote x de un nivel al siguiente. \therefore Hay $O(n)$ letras A.

- Cada avanzar, mueve el pivote x de un nivel al siguiente. \therefore Hay $O(n)$ letras A.
- $\therefore O(A \dots AR) = O(n) + O(1) + O(n)$
- y $O(A \dots AI) = O(n)(\#A) + O(n)(\#I) = O(n)$

Donde $\#Z$ es la cantidad de veces que ocurre la letra Z en la palabra en

cuestión. En resumen, $O(A \dots AX) = O(n)$. Y la cantidad de palabras $A \dots AX$ en una corrida se calcula así:

- Cada R borra un lado,
- y cada I borra *al menos* un lado;
- luego hay $O(m)$ palabras $A \dots AX$.

Luego la complejidad total es $O(nm)$. ■

5. ¿Cual es la complejidad del algoritmo de Wave? Probarla.

La complejidad de Wave es $O(n^3)$.

Demostración. Como es un algoritmo de tipo Dinitz, la distancia en n.a aumenta. Por lo tanto hay $O(n)$ networks auxiliares. Basta probar que la complejidad de hallar un flujo bloqueante en Wave es $O(n^2)$. Dividiremos la complejidad en varias partes.

- Los “**Los balanceos hacia adelante**” de los vertices.
Cuando un vertice x manda flujo a z , puede pasar que \vec{xz} se sature o no. Sea entonces:
 - S = Todos los pasos donde se satura un lado.
 - P = Todos los pasos donde no se satura un lado.
- Los “**Los balanceos hacia atrás**” el razonamiento es análogo.
Cuando devolvemos flujo, podemos devolverlo todo o solo un poco. Sea entonces:
 - V = La parte donde se vacían los lados.
 - Q = La parte donde se devuelve flujo parcialmente.

Entonces la complejidad de hallar un flujo bloqueante en Wave es

$$S + P + V + Q$$

Analicemos cada una en detalle.

- **Análisis de S**
Como habíamos mencionado, cuando un vertice x manda flujo a z , puede pasar que \vec{xz} se sature o no. Supongamos que \vec{xz} se saturó. La pregunta es si puede volver a saturarse en alguna ola hacia adelante. Para volver a saturarse, debe primero des-saturarse.

Por lo tanto, z debe devolverle flujo a $x \Rightarrow z$ debe estar “bloqueado”.

Pero, en las olas hacia adelante, cuando un vértice chequea sus vecinos, solo se manda flujo a vertices no bloqueados. Entonces si z le devuelve flujo a x , x no le puede volver a mandar flujo a z , por lo tanto:

- \vec{xz} no se puede volver a saturar otra vez.
- Entonces cada lado se satura a lo sumo una vez.

Entonces concluimos que la complejidad de S es $O(m)$.

■ Análisis de V

La pregunta es cuantas veces puede vaciarse un lado. La respuesta es muy similar al caso de S . Si x devuelve flujo a un vertice u y se vacía \vec{ux} , entonces x debe estar bloqueado, por lo tanto:

- u nunca puede volver a enviar flujo.
- Por lo tanto, \vec{ux} no puede volver a vaciarse (porque no se puede volver a enviar nada).
- Entonces cada lado se vacía a lo sumo una vez.

Entonces concluimos que la complejidad de V es $O(m)$.

■ Análisis de P y Q

Cuando intentamos balancear hacia adelante desde un vértice, todos los lados excepto quizás el ultimo se saturan. Es decir, en cada vértice de cada ola hacia adelante, hay a lo sumo un lado que no se satura, y “cuenta” para la complejidad de P .

- Enviar flujo por ese lado es $O(1)$.
- Luego la complejidad de P es $O(n) * (\#olas \text{ hacia adelante})$.

Similar en Q .

Al balancear hacia atras, en cada vértice se vacían todos los lados excepto a lo sumo uno.

- Luego la complejidad de Q es $O(n) * (\#olas \text{ hacia atrás})$.

Luego tenemos que:

$$\#olas \text{ hacia adelante} = \#olas \text{ hacia atrás}$$

Pues a cada ola hacia adelante corresponde una ola hacia atras. Ahora bien tenemos que calcular la cantidad de olas.

En cada ola hacia adelante excepto la ultima (cuando se logra el balanceo), algun vertice queda desbalanceado. Pero entonces la ola debio de bloquearlo. Por lo tanto, en cada ola hacia adelante excepto tal vez la ultima, se bloquea al menos un vertice. Los vertices nunca se desbloquean.

- Luego hay $O(n)$ olas.
- Entonces la complejidad de P es igual a la de Q
- Esto es $O(n) * O(n) = O(n^2)$

Finalmente tenemos que la complejidad de hallar un flujo bloqueante en Wave es:

$$\begin{aligned}
S + P + V + Q &= O(m) + O(n^2) + O(m) + O(n^2) \\
&= O(n^2) + O(n^2) + O(m) + O(m) \\
&= O(n^2) + O(m) \quad \text{y} \quad m = O(n^2) \\
&= O(n^2) \blacksquare
\end{aligned}$$

6. Probar que la distancia en networks auxiliares sucesivos aumenta.

Se evalúa en diciembre de 2024.

7. Probar que el valor de todo flujo es menor o igual que la capacidad de todo corte y que si f es un flujo, entonces f es maximal si y solo si existe un corte S tal que $v(f) = \text{cap}(S)$. (y en este caso, S es minimal) (puede usar sin necesidad de probarlo que si f es flujo y S es corte entonces $v(f) = f(S, \bar{S}) - f(\bar{S}, S)$)

Demostración.

1. Probaremos que $f \leq \text{Cap}(S)$ para un corte S y un flujo f arbitrarios. Por lema sabemos que:

$$v(f) = f(S, \bar{S}) - f(\bar{S}, S)$$

Observemos que el término $f(\bar{S}, S)$ es de la forma $\sum f(\vec{xy})$. Por definición, cada término en esa sumatoria es mayor o igual a cero, y por lo tanto la sumatoria es positiva. Entonces tenemos que $-f(\bar{S}, S) \leq 0$. Luego

$$v(f) = f(S, \bar{S}) - f(\bar{S}, S) \leq f(S, \bar{S})$$

El primer término: $f(S, \bar{S})$, también es una sumatoria de términos positivos y es por lo tanto mayor a cero, pero cada término es a su vez menor a la capacidad de cada lado, es decir $f(S, \bar{S}) \leq c(S, \bar{S}) = \text{Cap}(S)$. Por lo tanto:

$$v(f) \leq f(S, \bar{S}) \leq \text{Cap}(S) \blacksquare$$

2. Ahora probemos que f es maximal \iff existe un corte minimal S tal que $v(f) = \text{Cap}(S)$.

- (\Leftarrow) Sea ahora f un flujo y S un corte con $v(f) = \text{Cap}(S)$. Sea g cualquier otro flujo. Entonces, por la propiedad recién demostrada, $v(g) \leq \text{Cap}(S)$. Pues $\text{Cap}(S) = v(f)$, tenemos $v(g) \leq v(f)$. Por lo tanto f es maximal. Como detalle si T es un corte, $\text{Cap}(T) \geq v(f) = \text{Cap}(S)$, lo cual implica que S es minimal.
- (\Rightarrow) Asumimos que f es maximal. Probaremos que existe un corte S con $v(f) = \text{Cap}(S)$. Para esto, debemos construir S a partir de f . Definiremos

$$S = \{s\} \cup \{x \in V : \exists f\text{-camino aumentante entre } s \text{ y } x\}$$

Que S es un corte se sigue por contradicción. Si S no es corte, debe contener a t . Luego existe un f -camino aumentante desde s a t . Esto implica que puedo aumentar el flujo f , lo cual contradice que f es maximal.

Sabiendo que S es un corte, tenemos

$$v(f) = f(S, \bar{S}) - f(\bar{S}, S) \tag{1}$$

Consideremos el primer término en la resta de (1):

$$f(S, \bar{S}) = \sum_{\substack{x \in S \\ z \notin S \\ \overrightarrow{xz} \in E}} f(\overrightarrow{xz})$$

Sea \overrightarrow{xz} un par dentro del rango de la suma de arriba. Pues $x \in S$, existe un f -camino aumentante de s a x . Pues $z \notin S$, no existe un f -camino aumentante de s a z . Pero el lado \overrightarrow{xz} sí existe. Así que $s \dots xz$ podría ser un f -camino aumentante; como tal camino no existe por hipótesis, no es aumentante. Esto implica que $f(\overrightarrow{xz}) = c(\overrightarrow{xz})$. La conclusión es que $f(\overrightarrow{xz}) = c(\overrightarrow{xz})$ para todo $x \in S, z \notin S, \overrightarrow{xz} \in E$. Entonces

$$f(S, \bar{S}) = \sum_{\substack{x \in S \\ z \notin S \\ \overrightarrow{xz} \in E}} f(\overrightarrow{xz}) = \sum_{\substack{x \in S \\ z \notin S \\ \overrightarrow{xz} \in E}} c(\overrightarrow{xz}) = \text{Cap}(S)$$

Ahora consideremos el segundo término de la ecuación (1).

$$f(\bar{S}, S) = \sum_{\substack{w \notin S \\ x \in S \\ \overrightarrow{wx} \in E}} f(\overrightarrow{wx})$$

Sea \overrightarrow{wx} un par arbitrario en el rango de la suma. Como antes, $x \in S \Rightarrow$ que hay un camino aumentante de s a x ; pero no existe camino aumentante entre s y w ; pero \overrightarrow{wx} es un lado. Es decir, $s \dots \overleftarrow{xw}$ podría ser un f -camino aumentante; y como no lo es sucede que $f(\overrightarrow{wx}) = 0$. Luego

$$f(\bar{S}, S) = \sum_{\substack{w \notin S \\ x \in S \\ \overrightarrow{wx} \in E}} f(\overrightarrow{wx}) = 0$$

Luego $v(f) = \text{Cap}(S) - 0 = \text{Cap}(S)$. ■

8. Probar que si G es conexo no regular, entonces $\chi(G) \leq \Delta(G)$.

Sea x tal que $d(x) = \delta(G)$. Corramos BFS empezando por x y guardamos el orden inverso en el que se visitaron los vértices. Ahora corramos Greedy en el orden que acabamos de guardar. Notemos que en BFS todo vertice es incluido por un vertice que ya ha sido visitado, entonces en el orden inverso todo vertice tiene al menos un vecino por delante, excepto x . Entonces para cada vertice y , en el peor caso va a tener $d(y) - 1 < \Delta$ vecinos coloreados, todos con un color distinto. Por lo tanto podemos elegir un color entre $1 \dots \Delta$.

Finalmente, cuando llegamos a x , como $d(x) = \delta$, podemos elegir algún color entre $1 \dots \Delta$ que no haya sido usado por sus vecinos para colorearlo. Por lo tanto encontramos un coloreo propio para G que usa (a lo sumo) Δ colores.

Por lo tanto:

$$\chi(G) \leq \Delta(G) \blacksquare$$

9. Probar que 2-COLOR es polinomial

Demostración. Para esta demostración vamos a dar un algoritmo polinomial que colorea un grafo con dos colores.

Luego probaremos que si el coloreo que da nuestro algoritmo no es propio

es porque en el grafo hay algún ciclo impar, lo que implicaría $\chi(G) \geq 3$.
 Notar que vamos a asumir que el grafo es conexo, sin embargo si no lo es, simplemente hay que correr el algoritmo en todas sus componentes conexas y ver que todas sean bipartitas.

Algoritmo

Tomamos un $x \in V$, corremos BFS empezando en x . Si:

$$\begin{aligned} N(z) &= \text{nivel } z \text{ en el árbol BFS} \\ &= \text{distancia entre } z \text{ y } x \quad \text{en el árbol BFS} \\ &= \text{distancia entre } z \text{ y } x \quad \text{en } G \end{aligned}$$

Sea:

- $C(z) = (N(z) \bmod 2)$
- **If** (C es propio, return si, es 2-colorable).
- **Else** (return no, no es 2-colorable).

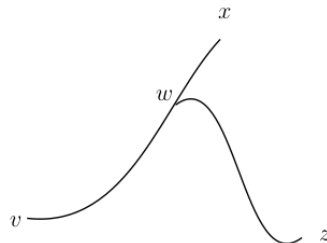
El algoritmo es polinomial porque BFS es $O(m)$ y chequear que es propio es $O(m)$, ahora veamos que pasa si nuestro coloreo no es propio .

Entonces tenemos que:

$$\exists v, z : c(v) = c(z) \wedge vz \in E$$

Entonces $d(x, v) = d(x, z) \bmod 2$

Tomamos un camino entre x y v en BFS y un camino entre x y z en BFS y sea w el único vértice en común, como en la siguiente figura:



Miramos el ciclo en G : $w \dots \underbrace{vz}_{\text{cruzo a } z} \dots \underbrace{w}_{\text{vuelvo a } x}$.

Calculamos la longitud de este ciclo:

$$\begin{aligned}
 \text{longitud} &= 1 + d(v, w) + d(z, w) \\
 \text{longitud mod } 2 &= (1 + d(v, w) + \dots + d(z, w)) \bmod 2 \\
 &= (1 + d(v, w) + d(z, w) + 2d(x, w)) \bmod 2 \\
 &= (1 + d(x, v) + d(x, z)) \bmod 2 = (1 + \overbrace{c(x) + c(z)}^{=0}) \bmod 2 \\
 &= 1
 \end{aligned}$$

Es un ciclo impar, entonces no se puede colorear con 2 colores $\Rightarrow \chi(G) \geq 3$. ■

10. Enunciar y probar el Teorema de Hall.

Sea $G = (V, E)$ bipartito con partes X e Y . Existe un matching completo de X a Y si y solo si

$$|\Gamma(S)| \geq |S| \quad \forall S \subseteq X$$

Notemos que un matching M de X a Y es completo si y solo si $|E(M)| = |X|$.

Demostración.

(\Rightarrow)

Sea M un matching completo de X a Y , este matching nos induce a una función inyectiva

$$f : X \rightarrow Y$$

tal que

$$f(x) \in \Gamma(x)$$

Como f es inyectiva tenemos que:

$$|f(S)| = |S| \quad \forall S \subseteq X$$

Finalmente

$$f(S) \subseteq \Gamma(S) \Rightarrow |S| \leq |\Gamma(S)| \quad \forall S \subseteq X$$

(\Leftarrow)

Supongamos que se cumple la condición de Hall, es decir:

$$|\Gamma(S)| \geq |S| \quad \forall S \subseteq X$$

Y también asumamos que al correr el algoritmo para hallar un matching maximal, llegamos a un matching maximal M tal que $|E(M)| < |X|$. Es decir, un matching incompleto en X (podría ser en Y). Construiremos un $S \subseteq X$ que viola la condición de Hall, es decir tal que

$$|\Gamma(S)| < |S|$$

llegando a un absurdo.

Corramos el algoritmo de extensión de matching sobre el ultimo matching M . Como esta matching no cubre a X , existen filas sin matchear, más otras filas etiquetadas. Entonces sean:

$$\begin{aligned} S &= \{\text{filas etiquetadas}\} \\ T &= \{\text{columnas etiquetadas}\} \\ S_0 &= \{\text{filas etiquetadas con } *\} \\ T_1 &= \{\text{columnas etiquetadas por } S_0\} \\ S_1 &= \{\text{filas etiquetadas por } T_1\} \end{aligned}$$

Y en general:

$$\begin{aligned} T_{i+1} &= \{\text{columnas etiquetadas por } S_i\} \\ S_i &= \{\text{filas etiquetadas por } T_i\}. \end{aligned}$$

Notemos que como M no es completo, tenemos algunas filas sin matchear, es decir que

$$S_0 \neq \emptyset \quad (0)$$

Las sucesiones son finitas y $S = S_0 \cup S_1 \cup \dots$ con uniones disjuntas, y $T = T_1 \cup T_2 \cup \dots$ con uniones disjuntas.

Cuando revisamos una columna pueden pasar dos cosas:

- La columna está libre, entonces la matcheamos y extendemos el matching. Esto no pasa porque M es maximal.
- La columna está matcheada con una fila, entonces etiquetamos únicamente esa fila.

Por lo tanto, el algoritmo nunca se detiene cuando pasa de algún T_i a S_i . Es decir que el algoritmo se detiene solamente al pasar de un S_k a un $T_{k+1} = \emptyset$. Observemos que, como cada columna etiqueta a la fila con la cual está matcheada, cada columna etiquetada etiqueta a una sola fila, entonces tenemos que:

$$|T_i| = |S_i| \quad (1)$$

Porque el T_i crea al S_i

Y también

$S = S_0 \cup S_1 \cup \dots S_k$ con uniones disjuntas, y $T = T_1 \cup T_2 \cup \dots T_k$ con uniones disjuntas.

Entonces finalmente tenemos que:

$$\begin{aligned} |S| &= |S_0| + |S_1| + \dots + |S_k| \\ &= |S_0| + |T_1| + \dots + |T_k| \quad \text{por (1)} \\ &= |S_0| + |T| > |T| \quad \text{por (0)} \end{aligned}$$

Por lo tanto $|S| > |T|$. Ahora demostremos que $T = \Gamma(S)$.

- $T \subseteq \Gamma(S)$: sea $y \in T$, y tuvo que ser etiquetado por una fila de S , y como cada fila etiqueta a sus columnas vecinas es claro que $y \in \Gamma(S)$.
- $\Gamma(S) \subseteq T$: Supongamos que existe un $y \in \Gamma(S)$ que no está en T . Existe un $x \in S$ que es vecino de y . Pero cuando revisamos x , habríamos visto que y era vecino suyo, y por lo tanto lo habríamos etiquetado. Absurdo pues habíamos supuesto $y \notin T$, luego, $\Gamma(S) \subseteq T$.

Finalmente, construimos un $S \subseteq X$ tal que no se cumple la condición de Hall. Lo que es un absurdo pues habíamos supuesto que era cierta. Entonces este absurdo viene de suponer que el matching maximal no es completo. ■

11. Enunciar y probar el teorema del matrimonio de Koenig

Todo grafo bipartito regular tiene matching perfecto.

Demostración. Dado $W \subseteq V$, definimos

$$E_W = \{wu : w \in W\}$$

Sean X, Y las partes de G . Sea $S \subseteq X$. Sea $l \in E_S$. Se sigue que

$$\exists x \in S, y \in Y : l = xy = yx$$

Es decir que $y \in \Gamma(x)$. Pero $x \in S$. Entonces $y \in \Gamma(S)$. Entonces $l \in E_{\Gamma(S)}$.
 $\therefore E_S \subseteq E_{\Gamma(S)}$. Por lo tanto

$$|E_S| \leq |E_{\Gamma(S)}| \tag{1}$$

Calculemos en general $|E_W|$ cuando $W \subseteq X$ o $W \subseteq Y$. Si $wu \in E_W$, entonces $v \notin W$, pues $W \subseteq X \Rightarrow v \in Y$, $W \subseteq Y \Rightarrow v \in X$.

De lo anterior se sigue que

$$E_W = \bigcup_{w \in W} \{wv : v \in \Gamma(w)\} \tag{2}$$

donde la unión es disjunta. Luego

$$|E_W| = \sum_{w \in W} |\Gamma(w)| = \sum_{w \in W} d(w) \tag{3}$$

Como G es regular, $d(w) = \delta = \Delta$. Luego

$$|E_W| = \Delta|W| \tag{4}$$

Usando (1) y (4) tenemos que

$$|S|\Delta \leq |\Gamma(S)|\Delta \Rightarrow |S| \leq |\Gamma(S)| \quad (5)$$

Como esto vale para todo $S \subseteq X$, el teorema de Hall implica que existe un matching completo de X a Y . Si demostramos que $|X| = |Y|$, se seguirá que ese matching será perfecto.

La primera forma de probar esto es ver que como X, Y son las partes de G , $E = E_X = E_Y$. Entonces $|E_X| = |E_Y|$, de lo cual se sigue que $\Delta|X| = |Y|\delta \Rightarrow |X| = |Y|$.

Otra forma de verlo es observar que, dado que existe un matching completo de X a Y , $|X| \leq |Y|$. Pero la elección de X sobre Y en la prueba fue arbitraria. Por lo tanto vale lo mismo para Y . Luego $|X| = |Y|$.

En ambos casos, el matching es perfecto. ■

12. Probar que si G es bipartito entonces $\chi'(G) = \Delta(G)$.

Se evalua en diciembre de 2024

13. Probar la complejidad $O(n^4)$ del algoritmo Hungaro y dar una idea de como se la puede reducir a $O(n^3)$

Se evalua en diciembre de 2024

14. Enunciar y probar el teorema de la cota de Hamming

Para todo código $C \in \{0, 1\}^n$ con $\delta(c) = \delta$ y $t = \lfloor \frac{\delta-1}{2} \rfloor$ entonces:

$$|C| \leq \frac{2^n}{1 + n + \binom{n}{2} + \cdots + \binom{n}{t}}$$

Demostración. Sea

$$A = \bigcup_{v \in C} D_t(v)$$

Buscamos $|A|$.

Como C corrige t errores tenemos que

$$D_t(v) \cap D_t(w) = \emptyset, \forall v, w \in C \text{ tales que } v \neq w$$

Es claro que A es unión disjunta

Ahora definimos

$$S_r(v) = \{w \in C : d_H(v, w) = r\}$$

De esta forma es claro que:

$$D_t(v) = \bigcup_{r=0}^t S_r(v) \quad \text{unión disjunta}$$

Sea $w \in S_r(v)$, hay un subconjunto de los n bits de las palabras que tiene r elementos tal que w difiere de v en esos r bits. Entonces tenemos:

- Dado $w \in S_r(v)$, podemos obtener r bits en los que v y w difieren.
- Dado un conjunto de r bits, podemos obtener un w tal que $d_H(v, w) = r$

Así, existe una biyección entre $S_r(v)$ y el conjunto de subconjuntos de r bits. Entonces la cardinalidad de estos conjuntos es la misma. Luego

$$|S_r(v)| = \binom{n}{r} \implies |D_t(v)| = \sum_{r=0}^t \binom{n}{r}$$

Finalmente tenemos:

$$\begin{aligned} |A| &= \sum_{v \in C} |D_t(v)| \\ &= \sum_{v \in C} \sum_{r=0}^t \binom{n}{r} \\ &= |C| \sum_{r=0}^t \binom{n}{r} \\ &\leq 2^n \quad \text{pues } A \subseteq \{0, 1\}^n \implies |C| \leq \frac{2^n}{\sum_{r=0}^t \binom{n}{r}} \blacksquare \end{aligned}$$

15. Sea C un código lineal con matriz de chequeo H . Entonces $\delta(C)$ es el mínimo número de columnas LD de H

Demostración.

Sea $m = \min\{r : \exists r \text{ columnas LD de } H\}$. Probaremos $m = \delta(C)$.

Para ello probaremos que $\delta(C) \leq m$ y $\delta(C) \geq m$.
Denotaremos la j -ésima columna de H como $H^{(j)}$.

Por definición de m existe j_1, j_2, \dots, j_r tal que $H^{(j_1)}, H^{(j_2)}, \dots, H^{(j_r)}$ son LD.

Entonces existen c_1, c_2, \dots, c_r no todos 0 tales que:

$$c_1 H^{(j_1)} + c_2 H^{(j_2)} + \dots + c_r H^{(j_r)} = 0$$

Sea $e_i = (0, 0, \dots, 1, \dots, 0)$ con 1 en la posición i . Entonces:

$$He_i^t = \begin{bmatrix} i \\ \vdots \\ i \\ \vdots \\ i \end{bmatrix} \begin{bmatrix} 0 \\ \vdots \\ 1 \\ \vdots \\ 0 \end{bmatrix} = H^{(i)}$$

Es la columna i -ésima de H .

Sea $x = c_1 e_{j_1} + c_2 e_{j_2} + \dots + c_r e_{j_r}$, como no todos los c_j son 0 entonces $x \neq 0$, por lo que:

$$\begin{aligned} Hx^t &= H(c_1 e_{j_1}^t + c_2 e_{j_2}^t + \dots + c_r e_{j_r}^t) \\ &= c_1 H e_{j_1}^t + c_2 H e_{j_2}^t + \dots + c_r H e_{j_r}^t \\ &= c_1 H^{(j_1)} + c_2 H^{(j_2)} + \dots + c_r H^{(j_r)} = 0 \\ &\Rightarrow Hx^t = 0 \end{aligned}$$

$\Rightarrow x \in C$ pues $C = \text{Nu}(H)$, pero su peso es $\leq m$, pues es suma de a lo sumo m vectores de peso 1. y vimos que $x \neq 0$ entonces sabemos que:

$$\delta(C) = \min\{|v| : v \in C, v \neq 0\}$$

Por lo tanto como $x \in C$ y $x \neq 0$, entonces x está en ese conjunto, así que tenemos:

$$\delta(C) = \min\{|v| : v \in C, v \neq 0\} \leq |x|$$

Pero su peso es $\leq m$, entonces:

$$\delta(C) = \min\{|v| : v \in C, v \neq 0\} \leq |x| \leq m$$

Entonces, $\delta(C) \leq m$.

Ahora probaremos que $\delta(C) \geq m$.

Sea $x \neq 0 : \delta(C) = |x|$ entonces:

$$\begin{aligned} x &= c_1 e_{i_1} + \dots + c_{\delta(C)} e_{i_{\delta(C)}} \\ &= 0 \quad \{\text{como } x \in C, \text{ entonces } x \neq 0\} \\ &= Hx^t = H^{(i_1)} + \dots + H^{(i_{\delta(C)})} \\ &\Rightarrow \{H^j, \dots, H^{i_{\delta(C)}}\} \text{son LD} \implies \delta(C) \geq m \end{aligned}$$

■

16. Sea C un código cíclico de dimensión k y longitud n y sea $g(x)$ su polinomio generador. Probar i, ii, iii y iv

i. C está formado por los múltiplos de $g(x)$ de grado menor que n :

$$C = \{p(x) : \text{gr}(p) < n \text{ y } g(x) | p(x)\}$$

- ii. $C = \{v(x) \odot g(x) : v \text{ es un polinomio cualquiera}\}$
- iii. $gr(g(x)) = n - k$
- iv. $g(x)$ divide a $1 + x^n$

Demostración

Prueba de i. y ii.

Sea $C_1 = \{p(x) : gr(p) < n \& g(x) | p(x)\}$ y $C_2 = \{v(x) \odot g(x) : v \text{ es un polinomio cualquiera}\}$. Vamos a demostrar que $C \subseteq C_1$, $C_2 \subseteq C$ y $C_1 \subseteq C_2$.

$$C_1 \subseteq C_2$$

Sea $p(x) \in C_1$, queremos ver si está en C_2 . Entonces existe $q(x)$ tal que $p(x) = g(x) \cdot q(x)$, además:

$$n > gr(p) = gr(g(x) \cdot q(x))$$

Luego tomando modulo tenemos que

$$\begin{aligned} p(x) \mod (1 + x^n) &= g(x) \cdot q(x) \mod (1 + x^n) \\ &= g(x) \odot q(x) \in C_2 \end{aligned}$$

Por lo tanto $p(x) \in C_2$.

$$C_2 \subseteq C$$

Sea $p(x) = v(x) \odot g(x) \in C_2$, con $v(x)$ un polinomio cualquiera de la forma

$$v(x) = v_0 + v_1 \cdot x + v_2 \cdot x^2 + \cdots + v_{gr(v)} \cdot x^{gr(v)}$$

Queremos ver que $p(x) \in C$. Entonces:

$$\begin{aligned} p(x) &= v(x) \odot g(x) \\ &= (v_0 + v_1 \cdot x + v_2 \cdot x^2 + \cdots + v_{gr(v)} \cdot x^{gr(v)}) \odot g(x) \\ &= v_0 \odot g(x) + v_1 \cdot (x \odot g(x)) + v_2 \cdot (x^2 \odot g(x)) + \cdots + v_{gr(v)} \cdot (x^{gr(v)} \odot g(x)) \\ &= v_0 \cdot g(x) + v_1 \cdot Rot(g(x)) + v_2 \cdot Rot^2(g(x)) + \cdots + v_{gr(v)} \cdot Rot^{gr(v)}(g(x)) \\ &\in C \end{aligned}$$

Ya que todas las rotaciones de $g(x)$ están en C , entonces $p(x) \in C$.

$$C \subseteq C_1$$

Sea $p(x) \in C$, como las palabras de C tienen longitud n , entonces $gr(p) < n$. Nos queda ver que $g(x)|p(x)$. Para ello dividamos p por g :

$$\exists q(x), r(x) : p(x) = g(x) \cdot q(x) + r(x) \quad \text{con } gr(r) < gr(g)$$

Ahora tomemos modulo:

$$\begin{aligned} p(x) &= p(x) \quad \text{mód } (1 + x^n) \\ &= (g(x) \cdot q(x) + r(x)) \quad \text{mód } (1 + x^n) \\ &= g(x) \odot q(x) + (r(x) \quad \text{mód } (1 + x^n)) \\ &= g(x) \odot q(x) + r(x) \quad \text{pues } gr(r) < gr(g) < n \end{aligned}$$

Por lo tanto tenemos que:

$$r(x) = p(x) + g(x) \odot q(x)$$

Y como $p \in C$ y $g(x) \odot q(x) \in C_2$, entonces $r(x) \in C$.

Pero como g es el generador, este es el único polinomio no nulo de menor grado en C , y como $gr(r) < gr(g)$, entonces $r(x) = 0$.

Finalmente, como $g(x)|p(x)$, entonces $p(x) \in C_1$.

Prueba de iii.

Sea $p(x) \in C$, entonces existe $q(x)$ tal que $p(x) = g(x) \cdot q(x)$.

Además $n > gr(p) = gr(g) + gr(q)$, entonces $gr(q) < n - gr(g)$.

Ahora, sea un $q(x)$ tal que $gr(q) < n - gr(g)$, tenemos que $g(x) \cdot q(x) \in C$.

Es decir, hay una biyección entre C y el conjunto de polinomios de grado menor a $n - gr(g)$. Entonces:

$$\begin{aligned} |C| &= |\text{conjunto de polinomios de grado menor a } n - gr(g)| \\ &\iff \\ 2^k &= 2^{n-gr(g)} \\ &\iff \\ k &= n - gr(g) \\ &\iff \\ gr(g) &= n - k \end{aligned}$$

Prueba de iv.

Dividimos $1 + x^n$ por $g(x)$:

$$\exists q(x), r(x) : 1 + x^n = g(x) \cdot q(x) + r(x) \quad \text{con } gr(r) < gr(g)$$

Ahora, si tomamos módulo:

$$\begin{aligned}
0 &= (1 + x^n) \bmod (1 + x^n) \\
&= g(x) \cdot q(x) + r(x) \bmod (1 + x^n) \\
&= g(x) \odot q(x) + (r(x) \bmod (1 + x^n)) \\
&= g(x) \odot q(x) + r(x) \quad \text{pues } gr(r) < gr(g) < n \\
&\Rightarrow r(x) = g(x) \odot q(x) \in C
\end{aligned}$$

Pero como g , es el polinomio de C no nulo de menor grado y $gr(r) < gr(g)$, entonces $r(x) = 0$ y $g(x)|(1 + x^n)$. ■

17. Probar que 3SAT es NP-completo

Vamos a demostrar que 3-Color es NP-COMPLETO, para ello usaremos

- $SAT \rightarrow 3-SAT \rightarrow 3-Color$
- Para el salto de 3-SAT a 3-Color usaremos un grafo bastante complejo que se puede colorear con 3 colores
- Cabe resaltar que el salto de 3 a 2 es NP-COMPLETO por esto.

Veamos que $SAT \leq_p 3-SAT$.

Entonces, sea B en forma conjuntiva normal (CNF) tal que $B = D_1 \wedge \dots \wedge D_r$ con $D_j = l_{1,j} \vee l_{2,j} \vee \dots \vee l_{i,j}$ con $l_{r,j}$ literales.

Queremos construir \tilde{B} polinomialmente tal que \tilde{B} esté en CNF con 3 literales por disyunción tal que B sea satisfacible si y solo si \tilde{B} es satisfacible.

Definimos unos E_j y $\tilde{B} = E_1 \wedge \dots \wedge E_n$.

Cada E_j lo definimos a partir de D_j , y procedemos de diferente manera según la cantidad de literales r_j presentes en D_j , entonces:

Si $r_j = 3$ tenemos que $E_j = D_j$, por lo que no hacemos nada.
Si $r_j < 3$ agregamos variables mudas que no afectan el resultado, vemos los casos:

- $r_j = 2 \rightarrow D_j = l_{1,j} \vee l_{2,j}$
 $E_j = (l_{1,j} \vee l_{2,j} \vee y_j) \wedge (l_{1,j} \vee l_{2,j} \vee \bar{y}_j)$
- $r_j = 1 \rightarrow D_j = l_{1,j}$
 $E_j = (l_{1,j} \vee y_{1,j} \vee y_{2,j}) \wedge (l_{1,j} \vee \bar{y}_{1,j} \vee y_{2,j}) \wedge (l_{1,j} \vee y_{1,j} \vee \bar{y}_{2,j}) \wedge (l_{1,j} \vee \bar{y}_{1,j} \vee \bar{y}_{2,j})$

Si $r_j > 3$ es el problema más grande:

$$D_j = l_{1,j} \vee l_{2,j} \vee \dots \vee l_{r_j,j}$$

entonces:

$$\begin{aligned} E_j = & (l_{1,j} \vee l_{2,j} \vee y_{1,j}) \wedge (l_{3,j} \vee y_{2,j} \vee \bar{y}_{1,j}) \\ & \wedge (l_{4,j} \vee y_{3,j} \vee \bar{y}_{2,j}) \wedge \dots \wedge (l_{r_j-2,j} \vee y_{r_j-3,j} \vee \bar{y}_{r_j-4,j}) \\ & \wedge (l_{r_j-1,j} \vee l_{r_j,j} \vee \bar{y}_{r_j-3,j}) \end{aligned}$$

Son variables booleanas para evaluarlas tenemos que elegir un vector de 0's y 1's.

Ejemplo: Supongamos \tilde{B} satisfacible, \tilde{B} es suma de función de variables x_1, \dots, x_{algo} y variables extra $y_{i,j}$. Podríamos denotarlo con $\tilde{B}(\vec{x}, \vec{y})$ mientras que B depende solo de las \vec{x} , es decir, $B(\vec{x})$. Es decir:

$$\underbrace{B = D_1 \wedge \dots \wedge D_n}_{\vec{x}} \rightarrow \underbrace{\tilde{B} = E_1 \wedge \dots \wedge E_n}_{\vec{x}, \vec{y}}$$

Vamos a demostrar que si $\exists \vec{a} : B(\vec{a}) = 1 \Leftrightarrow \exists \vec{c}, \vec{b} : \tilde{B}(\vec{c}, \vec{b}) = 1$. (la idea es ver que $\vec{a} = \vec{c}$)

(\Leftarrow) Supongamos que $\tilde{B}(\vec{c}, \vec{b}) = 1$ queremos probar $B(\vec{a}) = 1$. Supongamos que no se cumple y llegaremos a un absurdo, entonces se da $B(\vec{a}) = 0$.

Como $B = D_1 \wedge \dots \wedge D_n$ entonces $\exists j : D_j(\vec{a}) = 0$, pero $D_j = l_{1,j} \vee l_{2,j} \vee \dots \vee l_{r_j,j}$ donde todos los términos tienen que ser cero.

Entonces, $l_{i,j}(\vec{a}) = 0 \quad \forall i$ (y ese j). Por otro lado $\tilde{B}(\vec{a}, \vec{b}) = 1 \Rightarrow \exists E_j(\vec{a}, \vec{b}) = 1 \quad \forall j$ en particular para ese j que mencionamos antes.

Ahora tenemos que ver los casos:

- Si $r_j = 3$ tenemos que $E_j = D_j$ así que esto es imposible. $D_j(\vec{a}) = 0 \Rightarrow E_j = 0 \Rightarrow \tilde{B}(\vec{a}, \vec{b}) = 0$ Absurdo.
- Si $r_j = 2$ tenemos que $E_j = (l_{1,j} \vee l_{2,j} \vee y_j) \wedge (l_{1,j} \vee l_{2,j} \vee \bar{y}_j)$ pero $l_{i,j}(\vec{a}) = 0$ entonces:

$$\begin{aligned} 1 &= E_j(\vec{a}, \vec{b}) \\ &= (0 \vee 0 \vee y_j(\vec{b})) \wedge (0 \vee 0 \vee \bar{y}_j(\vec{b})) \\ &= y_j(\vec{b}) \wedge \bar{y}_j(\vec{b}) \\ 1 &= 0 \end{aligned}$$

Absurdo.

$$\blacksquare r_j = 1$$

$$\begin{aligned} 1 &= E_j(\vec{a}, \vec{b}) \\ &= (l_{1,j} \vee y_{1,j} \vee y_{2,j}) \wedge (l_{1,j} \vee y_{1,j} \vee \bar{y}_{2,j}) \wedge (l_{1,j} \vee \bar{y}_{1,j} \vee y_{2,j}) \\ &\quad \wedge (l_{1,j} \vee \bar{y}_{1,j} \vee \bar{y}_{2,j})[\vec{a}, \vec{b}] \\ &= (p \vee q) \wedge \underbrace{(\bar{p} \vee q) \wedge (p \vee \bar{q})}_{\text{sii}} \wedge (\bar{p} \vee \bar{q}) \\ &= 0 \end{aligned}$$

Absurdo.

$$\blacksquare r_j > 4$$

$$\begin{aligned} 1 &= E_j(\vec{a}, \vec{b}) \\ &= (l_{1,j} \vee l_{2,j} \vee y_{1,j}) \wedge (l_{3,j} \vee \bar{y}_{1,j} \vee y_{2,j}) \wedge (l_{4,j} \vee \bar{y}_{2,j} \vee y_{3,j}) \wedge \dots \\ &\quad \wedge (l_{r_j-2,j} \vee \bar{y}_{r_j-4,j} \vee y_{r_j-3,j}) \wedge (\bar{y}_{r_j-3,j} \vee l_{r_j-1,j} \vee l_{r_j,j})[\vec{a}, \vec{b}] \end{aligned}$$

sabemos que: $l_{i,j}(\vec{a}) = 0$

si $p_i = y_{i,j}(\vec{b}) = p_1 \wedge (\bar{p}_1 \vee p_2) \wedge (\bar{p}_2 \vee p_3) \wedge \dots \wedge (\bar{p}_{r_j-4} \vee p_{r_j-3}) \wedge \bar{p}_{r_j-3}$

$p_1 \wedge (p_1 \Rightarrow p_2) \wedge (p_2 \Rightarrow p_3) \wedge \dots \wedge (p_{r_j-4} \Rightarrow p_{r_j-3}) \wedge \bar{p}_{r_j-3} = 0$

Todos tienen que ser 1 y el último 0, es un absurdo.

$$(\Rightarrow) \text{ Si } \exists \vec{a} : B(\vec{a}) = 1 \Rightarrow \exists \vec{b} : \tilde{B}(\vec{a}, \vec{b}) = 1$$

Para $r_j \leq 3$ se le puede dar cualquier valor a los $y_{i,j}$ por ejemplo 0 y es trivial ver los casos $r_j = 1$ y $r_j = 2$.

El único problema grande es $r_j > 3$

Como $B(\vec{a}) = 1$ entonces $D_j(\vec{a}) = 1 \quad \forall j$ (y al menos un término de D_j es 1). Entonces, $\exists i_j : l_{i_j,j}(\vec{a}) = 1$. Si hay más de uno tomo cualquiera, por ejemplo el primero.

Evaluamos los $y_{i,j}$ de forma tal que:

$$y_{i,j}(\vec{b}) = \begin{cases} 1 & \text{si } i = 1, \dots, i_j - 2 \\ 0 & \text{si } i \geq i_j - 1 \end{cases}$$

Entonces, si evaluamos tenemos:

$$\begin{aligned}
E_j(\vec{a}, \vec{b}) &= (l_{1,j} \vee l_{2,j} \vee \underbrace{y_{1,j}}_{=1}) \wedge (l_{3,j} \vee \bar{y}_{1,j} \vee \underbrace{y_{2,j}}_{=1}) \wedge \dots \wedge (l_{i_j-1,j} \vee \bar{y}_{i_j-3,j} \vee \underbrace{y_{i_j-2,j}}_{=1}) \wedge \\
&\quad (\underbrace{l_{i_j,j}}_{=1(t)} \vee \bar{y}_{i_j-2,j} \vee y_{i_j-1,j}) \wedge (l_{i_j+1,j} \vee \underbrace{\bar{y}_{i_j-1,j}}_{=1} \vee y_{i_j,j}) \wedge \dots \\
&= 1
\end{aligned}$$

■

18. Probar que 3COLOR es NP-completo

Para probar esto, sabiendo que 3SAT es NP completo, demostraremos que 3SAT se reduce polinomialmente a 3COLOR.

Es decir, debemos, dada una instancia de 3SAT, es decir, una expresión booleana B en CNF con exactamente 3 literales por disjunción, crear polinomialmente una instancia de 3COLOR, es decir, un grafo G , tal que B es satisfacible si y solo si G se puede colorear con 3 colores.

Sean $x_1 \dots x_n$ las variables de B y D_j disjunciones cada una con tres literales tales que:

$$B = D_1 \wedge D_2 \wedge \dots \wedge D_m$$

Como cada D_j tiene 3 literales, sean ℓ_{jr} , $r = 1, 2, 3$ los 3 literales de D_j . Es decir, $D_j = \ell_{j1} \vee \ell_{j2} \vee \ell_{j3}$.

Construiremos ahora G .

Primero daremos los vertices de G :

- Tendremos para cada $i = 1, 2, \dots, n$ dos vértices u_i, w_i .
- Además, para cada $j = 1, \dots, m$ tendremos 6 vértices $a_{j1}, a_{j2}, a_{j3}, e_{j1}, e_{j2}, e_{j3}$.
- Finalmente, dos vértices especiales, que llamaremos el CAPITAN y el AVISPON.

Observemos que la construcción de los vértices es directa a partir de solamente saber n y m y es polinomial.

Ahora daremos los lados

Para poder definir los lados, debemos definir una función v del conjunto de literales $\{x_1, \dots, x_n, \neg x_1, \dots, \neg x_n\}$ en el conjunto $\{u_1, w_1, \dots, u_n, w_n\}$ de la siguiente forma:

$$v(x_i) = u_i \quad v(\neg x_i) = w_i$$

Es decir, v de un literal es u_i si el literal es la i -ésima variable, y w_i si el literal es la i -ésima negación de una variable.

Entonces definimos los siguientes lados:

- Triángulos $\{a_{j1}a_{j2}, a_{j2}a_{j3}, a_{j1}a_{j3}\}$, $j = 1, \dots, m$.
- Unir bases con extremos: $a_{jr}e_{jr}$, $j = 1, \dots, m$, $r = 1, 2, 3$. (Nota: los triángulos anteriores más estos últimos lados se llaman las “garras” porque al dibujarlos parecen unas garras).
- Unir extremos con el CAPITAN: $CAPITANe_{jr}$, $j = 1, \dots, m$, $r = 1, 2, 3$.
- Triángulos basados en el avispon: $AVISPONu_i$, $AVISPONw_i$, u_iw_i , $i = 1, \dots, n$.
- $(CAPITAN)(AVISPON)$ es otro lado.
- Lados $e_{jr}v(\ell_{jr})$, $j = 1, \dots, m$, $r = 1, 2, 3$.

Los primeros 4 tipos de lados dependen solo de n y m , son los últimos lados los que capturan la “estructura” de B .

Está claro que la construcción es polinomial, porque solo leemos quiénes son n , m y los literales ℓ_{jr} para construir G y el número de vértices y lados es lineal en estos números.

Como G tiene triángulos, sabemos que $\chi(G) \geq 3$. Demostremos entonces que B es satisfacible si y solo si $\chi(G) = 3$.

B es satisfacible $\Rightarrow \chi(G) = 3$

Como B es satisfacible, existe \vec{b} un vector de bits tal que $B(\vec{b}) = 1$. Colorearemos G a partir de \vec{b} , y cada vez que coloreemos un vértice o conjunto de vértices debemos asegurarnos que el coloreo sigue siendo propio. Para empezar definimos:

- Color del CAPITAN: ESCARLATA
- Color del AVISPON: VERDE
- Entonces el lado $(CAPITAN)(AVISPON)$ no crea problemas porque sus extremos tienen colores distintos.

Luego definimos:

- Color de u_i = ESCARLATA si $b_i = 1$ y NEGRO si $b_i = 0$.
- Color de w_i = ESCARLATA si $b_i = 0$ y NEGRO si $b_i = 1$.

Entonces cada triángulo $AVISPONu_i$, $AVISPONw_i$, u_iw_i tienen los colores VERDE, ESCARLATA y NEGRO en algún orden, así que no crea problemas.

Todavía no usamos que $B(\vec{b}) = 1$. Esa propiedad implica que $D_j(\vec{b}) = 1$ para todo j , y como D_j es una disyunción eso implica que:

$$\forall j \in \{1, \dots, m\} \exists r_j \in \{1, 2, 3\} : \ell_{jr_j}(\vec{b}) = 1$$

(Si hay más de un “ r_j ” elegimos uno solo)

Entonces coloreamos, para cada $j = 1, \dots, m$:

- Color de a_{jr_j} : VERDE
- Color de a_{jk} para $k \neq r_j$: Uno NEGRO y el otro ESCARLATA.

De esta forma los triángulos $a_{j1}a_{j2}$, $a_{j2}a_{j3}$, $a_{j1}a_{j3}$ no crean problemas porque sus vértices tienen los tres colores distintos.

Luego coloreamos los extremos:

- Color de e_{jr_j} : NEGRO
- Color de e_{jk} para $k \neq r_j$: VERDE

Entonces:

- Los lados $a_{jr_j}e_{jr_j}$ no crean problemas porque uno de sus extremos es VERDE y el otro NEGRO.
- Y para $k \neq r_j$, los lados $a_{jk}e_{jk}$ no crean problemas porque uno de sus extremos es NEGRO o ESCARLATA y el otro VERDE.
- Además los lados $CAPITANe_{jk}$ ($k = 1, 2, 3$) no crean problemas porque el color del CAPITAN es ESCARLATA y el de los e_{jk} es NEGRO o VERDE.
- Los lados $e_{jk}v(\ell_{jk})$ para $k \neq r_j$ no crean problemas porque el color de e_{jk} es VERDE para esos k , mientras que el color de $v(\ell_{jk})$, que será un u_i o w_i , va a ser NEGRO o ESCARLATA.
- Finalmente, quedan los lados $e_{jr_j}v(\ell_{jr_j})$. El color de e_{jr_j} es NEGRO así que acá podría haber algún problema. Lo que debemos probar para evitar el problema es que el color de $v(\ell_{jr_j})$ es ESCARLATA.

Para probar esto, debemos analizar qué tipo de literal es ℓ_{jr_j} :

1. Si ℓ_{jr_j} es una variable:

- Entonces existe i tal que $\ell_{jr_j} = x_i$.
- $\ell_{jr_j} = x_i$ implica por definición de v que $v(\ell_{jr_j}) = u_i$ (*)
- Pero también, $\ell_{jr_j} = x_i$ implica que: $\ell_{jr_j}(\vec{b}) = x_i(\vec{b}) = b_i$.
- Como $1 = \ell_{jr_j}(\vec{b})$, concluimos que $b_i = 1$.
- Esto implica que el Color de u_i es ESCARLATA. (**)
- Por lo tanto (*) y (**) nos dicen que, efectivamente, el color de $v(\ell_{jr_j})$ es ESCARLATA como queríamos.

2. Si ℓ_{jr_j} es la negación de una variable:

- Entonces existe i tal que $\ell_{jr_j} = \neg x_i$.
- Por lo tanto $v(\ell_{jr_j}) = w_i$, así que queremos probar que el color de w_i es ESCARLATA.
- Tenemos: $1 = \ell_{jr_j}(\vec{b}) = (\neg x_i)(\vec{b}) = 1 - b_i$.
- De lo cual concluimos que $b_i = 0$. Esto, por definición del coloreo, implica que el color de w_i es ESCARLATA, como queríamos.

Fin \Rightarrow .

B es satisfacible $\Leftrightarrow \chi(G) = 3$

Sea c un coloreo propio con 3 colores de G .

Definimos un vector de bits \vec{b} como:

$b_i = 1$ si $c(u_i) = c(CAPITAN)$ y $b_i = 0$ si no.

Para demostrar que $B(\vec{b})$ es necesario y suficiente ver que $D_j(b) = 1$ para todo j .

Fijemos entonces un j en $\{1, 2, \dots, m\}$

1. Como tenemos el triángulo $\{a_{j1}a_{j2}, a_{j2}a_{j3}, a_{j1}a_{j3}\}$, y c es un coloreo propio con 3 colores, entonces los 3 colores deben aparecer en los vértices de ese triángulo.
Por lo tanto, existe $r \in \{1, 2, 3\}$ tal que $c(a_{jr}) = c(AVISPON)$.
2. Como $a_{jr}e_{jr}$ es un lado, $c(e_{jr}) \neq c(a_{jr})$, por lo tanto por [1], concluimos que $c(e_{jr}) \neq c(AVISPON)$.
3. Como $CAPITANe_{jr}$ es un lado, concluimos que $c(e_{jr}) \neq c(CAPITAN)$.

4. Los items [2] y [3] nos dicen que el color de e_{jr} debe ser igual al "tercer color, es decir, el color que no es igual ni al color del AVISPON ni al color del CAPITAN. (Y, como $(CAPITAN)(AVISPON)$ es un lado, sabemos que el color del CAPITAN y el color del AVISPON son distintos, así que efectivamente, e_{jr} debe tener el tercer color.
5. Como $e_{jr}v(\ell_{jr})$ es un lado, entonces $c(v(\ell_{jr})) \neq c(e_{jr})$. Es decir, por el item [4], el color de $v(\ell_{jr})$ NO ES el tercer color.
6. Como $AVISPONv(\ell_{jr})$ es un lado, entonces $c(v(\ell_{jr})) \neq c(AVISPON)$.
7. Items [5] y [6] implican que $c(v(\ell_{jr})) = c(CAPITAN)$.

A partir del item [7] veamos de probar que $D_j(\vec{b}) = 1$.

Para ello, otra vez, tenemos que analizar qué clase de literal es ℓ_{jr} .

i. Si ℓ_{jr} es una variable:

- Entonces existe i con $\ell_{jr} = x_i$. Por lo tanto $v(\ell_{jr}) = u_i$.
- Entonces [7] implica que $c(u_i) = c(CAPITAN)$, y esto, por definición de \vec{b} implica que $b_i = 1$.
- Entonces $\ell_{jr}(\vec{b}) = x_i(\vec{b}) = b_i = 1$ lo cual implica $D_j(\vec{b}) = 1$ como queríamos.

ii. Si ℓ_{jr} es la negación de una variable:

- Entonces existe i con $\ell_{jr} = \neg x_i$. Por lo tanto $v(\ell_{jr}) = w_i$.
- Entonces [7] implica que $c(w_i) = c(CAPITAN)$.
- Como $u_i w_i$ es un lado, el color de u_i debe ser distinto del color de w_i .
- Por lo tanto lo anterior implica que: $c(u_i) \neq c(CAPITAN)$.
- Esto, por definición de \vec{b} implica que $b_i = 0$.
- Entonces:

$$\ell_{jr}(\vec{b}) = \neg x_i(\vec{b}) = 1 - b_i = 1 - 0 = 1$$

Lo cual otra vez implica que $D_j(\vec{b}) = 1$ como queríamos.

■

19. Probar que Matrimonio 3D ("matrimonio tri-sexual") es NP completo

Como sabemos que 3SAT es NP completo, demostraremos que 3SAT se reduce polinomialmente a Matrimonio 3D. Primero daremos un algoritmo polinomial que transforma instancias de 3SAT en instancias de Matrimonio 3D.

Algoritmo

Sea B una instancia de 3SAT con variables x_1, \dots, x_n tal que $B = D_1 \wedge \dots \wedge D_m$ con $D_j = l_{j1} \vee l_{j2} \vee l_{j3}$. Vamos a construir un 3-hipergrafo H con partes X , Y y Z . Para simplificar la notación usaremos:

$$\begin{aligned} i &\in \{1, \dots, n\} \\ j &\in \{1, \dots, m\} \\ r &\in \{1, 2, 3\} \\ k &\in \{1, \dots, m(n-1)\} \end{aligned}$$

Vértices

$$\begin{aligned} X &= \{a_{ij}\}_{i,j} \cup \{s_j\}_j \cup \{h_k\}_k \\ Y &= \{b_{ij}\}_{i,j} \cup \{t_j\}_j \cup \{g_k\}_k \\ Z &= \{u_{ij}, w_{ij}\}_{i,j} \end{aligned}$$

Un requisito para que haya matching perfecto es que $|X| = |Y| = |Z|$, lo cual se cumple pues

$$\begin{aligned} |X| &= nm + m + m(n-1) = 2nm \\ |Y| &= nm + m + m(n-1) = 2nm \\ |Z| &= nm + nm = 2nm \end{aligned}$$

Lados

Primero, definimos

$$v_{jr} = \begin{cases} u_{ij} & \text{si } \exists i : l_{jr} = x_i \\ w_{ij} & \text{si } \exists i : l_{jr} = \overline{x_i} \end{cases}$$

Luego, los lados del hipergrafo H serán $E_0 \cup E_1 \cup E_2 \cup E_3$:

$$\begin{aligned} E_0 &= \{\{a_{ij}, b_{ij}, u_{ij}\}\}_{i,j} \\ E_1 &= \{\{a_{i(j+1)}, b_{ij}, w_{ij}\}\}_{i,j} \quad (\text{notar que si } j = m, \text{ entonces } j+1 = 1) \\ E_2 &= \{\{h_k, g_k, u_{ij}\}\}_{i,j,k} \cup \{\{h_k, g_k, w_{ij}\}\}_{i,j,k} \\ E_3 &= \{\{s_j, t_j, v_{jr}\}\}_{j,r} \end{aligned}$$

Hay matching perfecto en H sii B es satisfacible

\implies ida

Supongamos que existe M matching perfecto en H . Ahora, sea un i cualquiera, si existe un j tal que

$$\exists L \in E(M) \cap E_0 : a_{ij} \in L,$$

entonces la única forma que pase esto es si $L = \{a_{ij}, b_{ij}, u_{ij}\}$. Luego, como M es matching y sus lados son disjuntos, tenemos que b_{ij} no puede aparecer en otro lado de M . Pero como M es completo, $a_{i(j+1)}$ tiene que estar en algún lado, entonces llegamos a que $\{a_{i(j+1)}, b_{i(j+1)}, u_{i(j+1)}\} \in E(M)$. De la misma forma llegamos a que $\{a_{i(j+2)}, b_{i(j+2)}, u_{i(j+2)}\} \in E(M)$, y así sucesivamente hasta llegar a

$$\{a_{ij}, b_{ij}, u_{ij}\} \in E(M), \forall j$$

lo cual llamaremos 'CASO 0' para i .

Con un análisis análogo pero suponiendo que existe un j tal que

$$\exists L \in E(M) \cap E_1 : a_{ij} \in L,$$

llegamos a

$$\{a_{i(j+1)}, b_{ij}, w_{ij}\} \in E(M), \forall j$$

lo cual llamaremos 'CASO 1' para i .

Notar que los vértices a_{ij} solo aparecen en $E_0 \cup E_1$, lo que implica que si no se cumple 'CASO 1' para i , es porque se cumple 'CASO 0' para i .

Con esto en mente vamos a definir \vec{b} :

$$b_i = \begin{cases} 1 & \text{si 'CASO 1' para } i \\ 0 & \text{si 'CASO 0' para } i \end{cases}$$

Ahora, para probar $B(\vec{b}) = 1$, tenemos que probar que $\forall j, \exists r : l_{jr}(\vec{b}) = 1$. Entonces sea un j fijo, como M es perfecto, los vértices t_j y s_j deben estar en algún lado de M . Entonces existe r tal que $\{s_j, t_j, v_{jr}\} \in E(M)$.

- Si l_{jr} es una variable x_i :

Entonces $v_{jr} = u_{ij}$ y $\{s_j, t_j, u_{ij}\} \in E(M)$. Entonces $\{a_{ij}, b_{ij}, u_{ij}\} \notin E(M)$, por lo que estamos en 'CASO 1' para i . Finalmente:

$$l_{jr}(\vec{b}) = x_i(\vec{b}) = b_i = 1$$

- Si l_{jr} es una negación de variable $\overline{x_i}$:

Entonces $v_{jr} = w_{ij}$ y $\{s_j, t_j, w_{ij}\} \in E(M)$. Entonces $\{a_{i(j+1)}, b_{ij}, w_{ij}\} \notin E(M)$, por lo que estamos en 'CASO 0' para i . Finalmente:

$$l_{jr}(\vec{b}) = \overline{x_i}(\vec{b}) = 1 - b_i = 1$$

\Leftarrow vuelta

Sea \vec{b} tal que $B(\vec{b}) = 1$. Vamos a construir un matching completo M con lados $F_0 \cup F_1 \cup F_2 \cup F_3$ tales que $F_n \subseteq E_n$ para $n = 0, 1, 2, 3$.

$$F_0 = \{\{a_{ij}, b_{ij}, u_{ij}\} : j = 1, \dots, m \wedge b_i = 0\}$$

$$F_1 = \{\{a_{i(j+1)}, b_{ij}, w_{ij}\} : j = 1, \dots, m \wedge b_i = 1\}$$

Es claro que estos lados son disjuntos.

Para definir F_3 vamos a usar el hecho de que $B(\vec{b}) = 1$, lo que significa que $\forall j, \exists r_j : l_{jr_j}(\vec{b}) = 1$. Si en algún j hay más de un r_j que cumpla eso, tomamos uno. De esta forma:

$$F_3 = \{\{s_j, t_j, v_{jr_j}\}\}_j$$

Es claro que los lados de F_3 son disjuntos entre sí, pues elegimos uno solo r_j .

- **¿Qué pasa si hay un vértice que esté en un lado de F_0 y en un lado de F_3 ?**

Esto tiene que ser porque $v_{jr_j} = u_{ij}$ y $\{a_{ij}, b_{ij}, u_{ij}\} \in F_0$. Estas dos cosas implican que $l_{jr_j} = x_i$ y $b_i = 0$. Luego

$$1 = l_{jr_j}(\vec{b}) = x_i(\vec{b}) = b_i = 0$$

es un absurdo, entonces los lados de F_3 son disjuntos con los de F_0 .

- **¿Qué pasa si hay un vértice que esté en un lado de F_1 y en un lado de F_3 ?**

Esto tiene que ser porque $v_{jr_j} = w_{ij}$ y $\{a_{i(j+1)}, b_{ij}, w_{ij}\} \in F_1$. Estas dos cosas implican que $l_{jr_j} = \bar{x}_i$ y $b_i = 1$. Luego

$$1 = l_{jr_j}(\vec{b}) = \bar{x}_i(\vec{b}) = 1 - b_i = 0$$

es un absurdo, entonces los lados de F_3 son disjuntos con los de F_1 .

Por ahora M es matching, pero falta ver que sea perfecto. Para esto definimos

$$N = \{z \in Z : z \text{ no está cubierto por un lado de } F_0 \cup F_1 \cup F_3\}$$

y calcularemos $|N|$. Primero, es claro que $|F_3| = m$. Luego, sea $p = |\{i : b_i = 0\}|$ y $q = |\{i : b_i = 1\}|$, es claro que $p + q = n$ y que $|F_0| = mp$ y $|F_1| = mq$. Con todo esto podemos calcular

$$|Z - N| = |F_0| + |F_1| + |F_3| = mp + mq + m = m(p + q + 1) = m(n + 1)$$

y finalmente

$$|N| = |Z| - |Z - N| = 2mn - m(n + 1) = m(n - 1)$$

Entonces, existe una biyección $f : \{1, \dots, m(n - 1)\} \rightarrow N$, por lo que definimos

$$F_2 = \{\{g_k, h_k, f(k)\} : k \in \{1, \dots, m(n - 1)\}\}$$

que tiene lados disjuntos porque f es inyectiva y además cubre todos los $z \in Z$ que no tenía cubiertos porque f es suryectiva. Además, es claro que sus lados son disjuntos con los de $F_0 \cup F_1 \cup F_3$ por cómo definimos f .

Finalmente, como cubrimos todos los lados de Z , M es matching y $|X| = |Y| = |Z|$, tenemos que M es matching perfecto en H .